

02;03;04;07;12

**МЕХАНИЗМЫ ЗАСЕЛЕНИЯ  
ЭЛЕКТРОННО-ВОЗБУЖДЕННЫХ СОСТОЯНИЙ  
ArI И ArII В НЕРАВНОВЕСНО-РЕКОМБИНИРУЮЩЕЙ  
УДАРНО НАГРЕТОЙ СТРУЕ**

© T.B.Баженова, A.B.Емельянов, A.B.Еремин, B.B.Шумова

Институт высоких температур РАН,  
127412 Москва, Россия

(Поступило в Редакцию 15 февраля 1995 г.)

Проведен экспериментальный и численный анализ механизмов формирования заселенностей электронно-возбужденных состояний атомов и ионов Ar в ионизованных сверхзвуковых струях. Численный анализ неравновесных эффектов в ионизованных струях аргона выполнен на основе рассмотрения поуровневой кинетики рекомбинации. Эксперименты проведены в двумерных струях ударно-нагретого газа на установке, сочетающей ударную трубу с плоской ваккумной камерой. Эмиссионно-абсорбционные измерения в сверхзвуковой струе проведены на длинах волн  $4880 \pm 15$  и  $3520 \pm 35$  Å на расстоянии 4.5 мм от звукового щелевого сопла полуширины  $h_s = 1$  мм при параметрах торможения  $T_0 = 7 - 13 \cdot 10^3$  К,  $P_0 = 1 - 20$  атм. Найдено значение константы скорости столкновительного перехода между 3p- и 4s-уровнями ArII в этих условиях.

Данная работа является непосредственным продолжением и развитием начатого авторами в [1] численного и экспериментального изучения механизмов формирования инверсной заселенности электронно-возбужденных состояний атомов и ионов Ar в ионизованных сверхзвуковых струях.

В [1] была впервые экспериментально обнаружена инверсная заселенность на  $4p'[3/2] - 4s'[1/2]^0$ -переходе ArI ( $\lambda = 852$  нм), измерен коэффициент усиления  $\chi$  и его зависимость от  $T_0$ , доказан рекомбинационный механизм возникновения инверсии на этом переходе и проведены расчеты режимов, позволяющие осуществлять подбор оптимальных условий проведения эксперимента для получения максимального коэффициента усиления.

Целью данной работы явилось развитие численной модели для расширения возможностей описания поуровневой кинетики заселения электронно-возбужденных состояний ионов и нейтралов аргона в неравновесных ионизованных струях.

В экспериментальной части работы измерены населенности ряда возбужденных уровней атома и иона аргона в осевой плоскости сверхзвуковой струи. На основе численного анализа экспериментальных данных в работе сделаны выводы об общих закономерностях рекомбинационных процессов в слабоионизованных струях аргона.

### Численная модель

Развитая в работе [1] численная модель процесса рекомбинации частично ионизованного аргона в сверхзвуковой струе была применена для анализа процессов инверсии на высоколежащих уровнях ArI. Напомним здесь основные моменты построения модели.

Процесс истечения частично ионизованного аргона через сверхзвуковое сопло описывается двумя блоками уравнений: уравнениями газодинамики и системой кинетических уравнений. Газодинамические параметры потока рекомбинирующей плазмы определяются решениями уравнений неразрывности, Эйлера и сохранения энергии

$$\begin{aligned} \nabla(\rho v) &= 0, \quad (v \nabla)v + 1/\rho \nabla p = 0, \\ \nabla [\rho V(h + v^2/2)] &= \rho Q, \quad P = \rho R T \end{aligned} \quad (1)$$

где  $Q$  — удельная мощность излучения плазмы.

Для стационарного изэнтропического истечения двухтемпературной плазмы в квазидномерном случае, каковым является истечение через плоское звуковое сопло, эта система уравнений упрощается и выглядит следующим образом:

$$\begin{aligned} \rho u s &= \rho_* u_* s_*, \quad u^2 + 2h = u_*^2 + 2h_*, \\ T \rho^{1-\gamma} &= T_* \rho_*^{1-\gamma}, \quad P = \rho R(T + \alpha T_e), \end{aligned} \quad (2)$$

где  $T$  — поступательная температура;  $T_e$  — электронная температура;  $\alpha$  — степень ионизации;  $T_*$ ,  $\rho_*$ ,  $s_*$ ,  $u_*$  — критические температура, плотность, площадь поперечного сечения и скорость потока;  $\gamma$  — показатель адиабаты, равный  $\gamma = 1 + P/(\rho(h + c_v T/\mu))$ ;  $h$  — энтальпия газа, равная  $h = c_p/\mu(T(1 - \alpha) + \alpha T_e + \epsilon)$ , где  $\epsilon$  — энергия, запасенная на внутренних степенях свободы плазмы;  $c_p$ ,  $c_v$  — теплоемкости идеального одноатомного газа.

Расчеты показали, что в исследованном в работе диапазоне параметров истечения рекомбинация не вносит существенных поправок в газодинамические параметры газа, так как состав можно с достаточной точностью считать замороженным и теплоемкость постоянной.

Уравнение баланса энергии электронов записывается в общепринятом виде

$$\frac{dT_e}{dt} = \frac{2}{5R\alpha\rho} \left( \frac{dP_e}{dt} + (Q_e)_{el} + (Q_e)_{inel} - (Q_e)_{rad} \right), \quad (3)$$

где индекс  $e$  означает, что данный параметр относится к электронам, а члены  $(Q_e)_{el}$ ,  $(Q_e)_{inel}$  и  $(Q_e)_{rad}$  выражают соответственно изменение энергии электронов в упругих, неупругих столкновениях и в результате тормозного излучения.

Конкретные выражения этих величин взяты из [2].

Система кинетических уравнений описывает детальную кинетику формирования населеностей семи нижних возбужденных состояний ArI и пяти нижних возбужденных состояний ArII. Кинетические процессы, рассмотренные в модели, могут быть представлены в следующем схематическом виде:  $A_k + e \leftrightarrow A_i + e$  — столкновительные переходы в атоме,  $A_k + e \leftrightarrow I + 2e$  — ионизация (рекомбинация) с  $k$ -го уровня  $I_l + e \leftrightarrow I_m + e$  — столкновительные переходы в ионе,  $A_i \rightarrow A_k + h\nu$ ,  $I_i \rightarrow I_k + h\nu$  — излучательные переходы. При написании уравнений константы скоростей принимаются в соответствии с общепринятыми правилами [3–5], а скорости прямых и обратных процессов согласовываются через соответствующие константы равновесия. Развитая модель позволяет представить достаточно полную картину поведения населеностей нижних возбужденных уровней атома и иона аргона в процессе сверхзвукового расширения. Подобные модели успешно применяются также для описания кинетики отдельных уровней расширяющегося аргона [6,5] и для описания излучательных характеристик ArI. Анализ расчетов по приведенной модели позволяет также сделать вывод, что характер распределения по электронно-возбужденным уровням иона аргона в отличие от атомных уровней Ar не является результатом рекомбинационных процессов в струе в рассматриваемом диапазоне температур и давлений. При температурах торможения  $T_0 = 7000–13\,000\text{ K}$  и давлениях в несколько атмосфер концентрации двукратно ионизованных атомов  $\text{Ar}^{++}$  не превышают 0.1% от общей концентрации частиц и вклад реакции рекомбинации  $\text{Ar}^{++} + e + e \rightarrow \text{Ar}^+ + e$  в формирование населеностей уровней  $\text{Ar}^+$ , как показали расчеты, не превышает нескольких процентов их величины. Таким образом, заселенность ионных уровней будет определяться в основном электронной температурой и неравновесный характер заселения уровней  $\text{Ar}^+$  может быть обусловлен только различием друг относительно друга радиационных времен жизни отдельных возбужденных уровней и скоростей столкновительных переходов между ними.

В данной работе концентрации конкретных состояний ионов или атомов для удобства представления приведены на языке температур заселения этих состояний

$$T_i^* = -E_i/k \ln(g_0 N_i/g_i N_0), \quad (4)$$

где  $T_i^*$  — температура заселения  $i$ -го уровня,  $E_i$  — его энергия,  $N_0$  — полная концентрация ионов.

В исследуемых условиях истечения кинетические эффекты обусловлены столкновениями ионов и атомов Ar с электронами, поэтому в терминах температуры отклонение концентрации какого-либо состояния от равновесной выражается через отклонение его температуры от температуры электронов.

На рис. 1 приведена зависимость расчетных температур ряда уровней атома и иона Ar от концентрации электронов на расстоянии от сопла  $x = 4.5h_*$ , где  $h_*$  — калибр сопла, и давлении торможения  $P_0 = 1.3$  атм. Видно, что в широком диапазоне параметров потока температура ряда  $r$ -уровней превышает температуры соответствующих

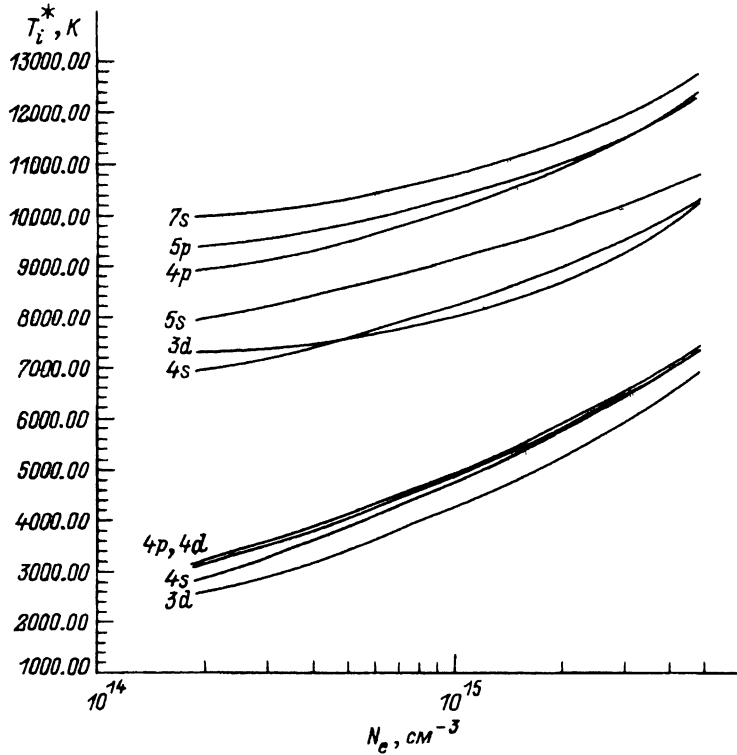


Рис. 1. Зависимость расчетных температур  $3d$ - ,  $4s$ - ,  $4p$ - ,  $5s$ - ,  $5p$ - ,  $7s$ -уровней  $\text{ArI}$  и  $3d$ - ,  $4s$ - ,  $4p$ - ,  $4d$ -уровней  $\text{ArI}$  от концентрации электронов на расстоянии от сопла  $x = 4.5h_*$  и давлении торможения  $P_0 = 1.3$  атм.

$s$ -уровней  $\text{ArI}$ , что свидетельствует о принципиальной возможности получения инверсии на  $p-s$ -переходах. Температуры всех ионных уровней оказываются ниже электронной, что связано с высокой скоростью их спонтанного распада. На начальном участке течения, когда частота столкновений ионов с электронами еще достаточно высока, существенной оказывается "подпитка" населенностей низких возбужденных ионных уровней ( $4s$ ,  $3d$ ) в процессах типа  $\text{Ar}^+(3p) + e \rightarrow \text{Ar}^+(4s, 3d) + e$ . Поэтому для адекватного описания кинетики населенностей низколежащих возбужденных ионных уровней важно точное знание констант скоростей их возбуждения из основного состояния.

Константы скоростей столкновительных переходов между различными уровнями ионов и атомов являются до сих пор предметом обсуждения. Так, в литературе отсутствуют данные как по силам осцилляторов для длинноволновых переходов между уровнями групп  $4s$  и  $3p$ , так и экспериментально определенные константы этих переходов в данном температурном диапазоне. В [7] приведены измеренные при температурах электронов 20 000–80 000 К константы столкновительных переходов между различными уровнями иона аргона. В наших расчетах предпринята попытка восполнить этот пробел путем варьирования этой константы и сравнения ее с экспериментом. В первом приближении константа перехода  $3p-4s$  была принята по экстраполяции имеющихся данных [7] на более низкие энергии электронов, соответствую-

ющие условиям наших экспериментов. Сравнение результатов расчетов с нашими экспериментальными результатами дает значение этой константы скорости в 1.5 раз большее, чем в [7], и в диапазоне температур 7000–13 000 К может быть записана в общепринятом виде [4] как

$$k(3p - 4s) = 1.08 \cdot 10^{-12} (\delta\epsilon)^{-3/2} \exp\{-\beta\} G(\beta) \text{ см}^3/\text{с},$$

где  $\beta = \Delta E/kT$ ;  $\Delta\epsilon$  — энергия порога  $\Delta E$ , выраженная в единицах Ридберга;  $G(\beta)$  — табулированная функция [4].

Ниже будет представлено экспериментальное подтверждение того, что данная модель дает адекватное описание исследуемых процессов.

## Эксперимент

Эксперименты проводились на установке, подробно описанной в [1] и представляющей собой сочетание ударной трубы с плоской вакуумной камерой. В этой серии экспериментов рассчитанные температура и давление торможения истекающей струи составляли  $T_0 = 7000\text{--}13 000\text{ K}$  и  $P_0 = 1\text{--}20\text{ atm}$  соответственно.

Спектроскопические измерения эмиссионных и абсорбционных свойств потока проведены на оси струи на расстоянии 4.5 мм от среза сопла на трех длинах волн: 852 (переход  $4s\text{--}4p$  ArI), 488 (переход  $4p\text{--}4s$ ) и 352 нм (переход  $4d\text{--}4p$ ) иона аргона ArII, при этом интерференционные светофильтры имели полуширины пропускания  $\Delta\lambda = 1.5\text{ nm}$  на длине волны 488 нм и  $\Delta\lambda = 3.5\text{ nm}$  на длине волны 352 нм. Пространственное разрешение схемы составляло не более 2 мм, временнное —  $\sim 1\text{ мкс}$ .

Из приведенных на рис. 2 осцилограмм видно, что при высоких температурах торможения  $T_0$  на длине волны 488 нм происходило усиление зондирующего излучения, в то время как на длине волны 352 нм этого эффекта не наблюдалось.

На длине волны 488 нм помимо эмиссионно-абсорбционных измерений проведены также измерения методом резонансного поглощения лазерного излучения [8] (использовался лазер на ионе Ar ЛГН-503). Пример полученных осцилограмм приведен на рис. 3. В диапазоне температур торможения от 12 500 до 10 100 К получено как поглощение, так и усиление лазерного излучения.

## Анализ экспериментальных данных

Полученные экспериментальные результаты дали возможность непосредственно проследить за температурами заселения возбужденных состояний атома и иона аргона. Действительно, коэффициент усиления, полученный в эксперименте, может быть выражен как отрицательный коэффициент поглощения и связан с заселенностями состояний

$$\kappa = -k_\lambda P = \alpha_{ef}(N_2 g_1 / g_2 - N_1), \quad (5)$$

где  $N_1, N_2$  — заселенности состояний  $4s$  и  $4p$  соответственно.

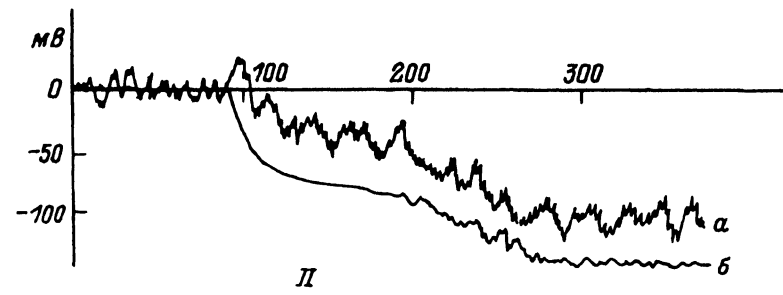
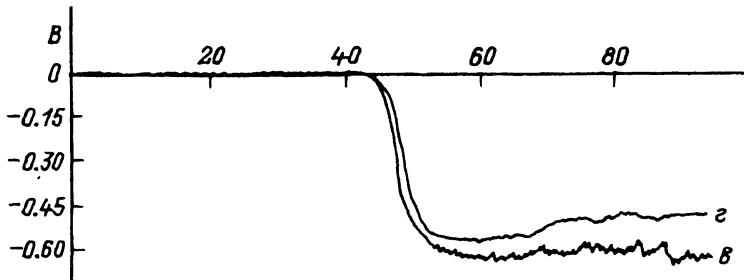
Используя формально соотношение Больцмана, связывающее  $N$  с температурами заселения состояний, можно записать

$$N_i = N_0 \exp(-E_i/kT_i^*), \quad (6)$$

$T_i^*$  — температура заселения  $i$ -го уровня,  $E_i$  — его энергия,  $N_0$  — концентрация ионов.



I



II

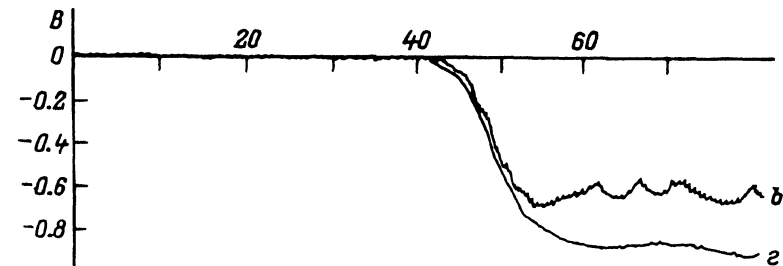


Рис. 2. Осциллограммы абсорбционных (*a, б*) и эмиссионных (*б, г*) сигналов на длинах волн 488 (I) и 352 нм (II) в расширяющемся потоке частично ионизованного аргона.

$T_0, K: a, б — 9050; б, г — 13125; P_0, \text{атм}: a, б — 21.3; б, г — 3.95.$

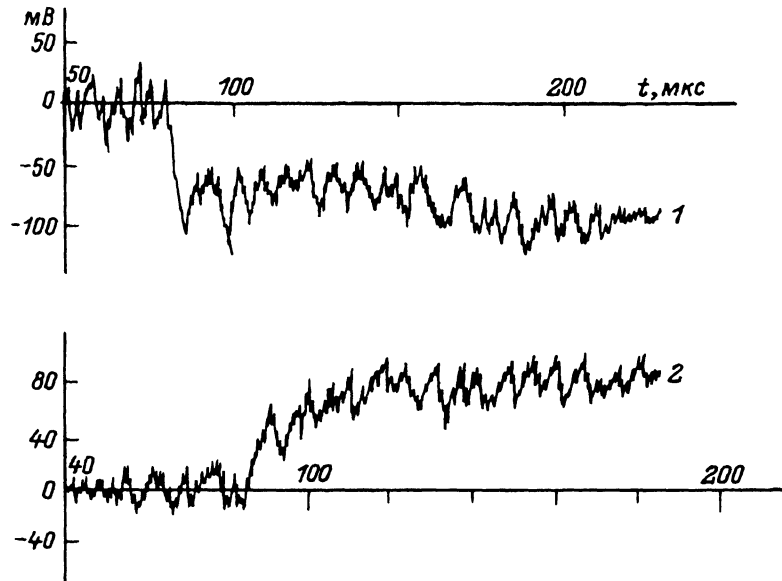


Рис. 3. Осциллограммы резонансного усиления (1) и поглощения (2) лазерного луча в расширяющемся потоке частично ионизованного аргона.  
 $T_0, \text{К: } 1 - 9820, 2 - 10520; P_0, \text{атм: } 1 - 14.8, 2 - 11.8.$

Амплитуда сигнала, регистрируемого в абсорбционном канале  $I_a$ , определяется соотношением

$$I_a = I_s + I_e, \quad (7)$$

где  $I_s$  — амплитуда попадающего на приемник сигнала от источника излучения,  $I_e$  — эмиссионный сигнал,  $I_s$  можно связать с полной амплитудой источника  $I_0$

$$I_s = I_0 \int \exp(-k_\lambda Pl) d\lambda, \quad (8)$$

где  $l$  — длина оптического пути в поглощающем газе;  $P$  — давление исследуемого газа;  $k_\lambda$  — коэффициент поглощения на длине волны  $\lambda$ , пропорциональный концентрации поглощающих атомов.

Эмиссионный сигнал  $I_e$  в силу закона Кирхгофа равен

$$I_e = \int D(2hc^2/\lambda^5) \exp(-hc/\lambda kT) [1 - \exp(-k_\lambda P)] d\lambda, \quad (9)$$

где  $T$  — температура заселения выделяемого электронного перехода, которая в равновесии равна температуре исследуемого газа.

Интегралы в (8), (9) берутся по интервалу частот, соответствующему спектральной линии.

Интенсивность излучения эталонного источника с яркостной температурой  $T_0$  в спектральном диапазоне  $\Delta\lambda_f$  ( $\Delta\lambda_f$  — ширина интерференционного фильтра) с центром полосы  $\lambda$ , попадающего на приемник, в соответствии с законом Вина равна

$$I_0(T_0) = D(2hc^2/\lambda^5) \exp(-hc/\lambda kT_0) \Delta\lambda_f, \quad (10)$$

где  $D$  — аппаратурный коэффициент, определяемый геометрией схемы измерений.

В уравнении (9) важную роль играет вопрос о профиле линии. Учет реального профиля линии, который сложным образом зависит от свойств среды, и в особенности от давления и температуры [9], привел бы к значительному усложнению анализа экспериментальных данных. Поэтому принято предположение, согласно которому профиль линии рассматривался в виде прямоугольной функции с шириной основания, равной полной полуширине линии. При этом полуширина рассчитывалась согласно тому механизму уширения, который в условиях наших экспериментов имел максимальное значение. Рассматривались три механизма уширения: допплеровский, возникающий в результате относительного движения частиц в излучающей плазме; столкновительный, обусловленный взаимодействием излучающих частиц с окружающими нейтральными частицами; штарковский, вызванный взаимодействием излучателей с заряженными частицами, т. е. с электронами и ионами.

Допплеровское уширение имеет полную полуширину, т. е. ширину на половине высоты кривой, представляющей распределение интенсивности в линии, равную [9]

$$\Delta\lambda_D = 7.6 \cdot 10^{-7} \cdot \lambda(T/\mu)^{0.5}, \quad (11)$$

где  $T$  — [К],  $\lambda$  — [ $\text{\AA}$ ],  $\mu$  — атомный вес.

Из формулы (11) видно, что тепловое допплеровское уширение наиболее резко проявляется у легких элементов при высоких температурах.

Столкновительное уширение в условиях проведенной работы определяется столкновениями нейтральных частиц одного сорта между собой, так как эксперименты проводились в чистом аргоне. Это так называемое зольцмарковское или резонансное уширение. Величина полной полуширины контура резонансного уширения равна [10]

$$\Delta\lambda_P = 1.23 \cdot 10^{-17} (g_1/g_2)^{0.5} \lambda^3 f_{12} N \text{\AA}, \quad (12)$$

где  $\lambda$  в мкм,  $f_{12}$  — сила осциллятора перехода,  $N$  — концентрация нейтральных атомов.

Формула показывает, что величина столкновительного уширения растет пропорционально концентрации нейтральных атомов и сильно зависит от длины волны излучения.

По мере увеличения концентрации свободных электронов и ионов в плазме по крайней мере до 1% от общей плотности частиц [9] существенную роль оказывает штарковский механизм уширения, причем преобладающее влияние в уширении играют свободные электроны. Взаимодействие с ионами лишь немного увеличивают штарковскую ширину линии ( $\sim 15-20\%$  [9]). Для изолированных линий, т. е. линий, ширина которых, выраженная в энергетических единицах, много меньше энергетических расстояний между соседними уровнями, полная полуширина при штарковском уширении в широком диапазоне электронных плотностей и температур выражается следующей формулой [9]:

$$\Delta\lambda_S = 2 \cdot 10^{-16} w N_e \left[ 1 + 1.75 \cdot 10^{-4} N_e^{1/4} \alpha (1 - r N_e^{1/6} T^{-1/2}) \right] \quad (13)$$

где  $r = 0.068$  для атомных линий,  $r = 0.11$  для ионных линий.

Параметры  $w$  и  $\alpha$  затабулированы в таблицах [10,11]. Обычно второй член в формуле (13), соответствующий вкладу ионов в уширение, мал, так что величина  $\Delta\lambda_s \sim N_e$  и слабо зависит от температуры.

Расчеты по (5)–(10) дали значения температур заселения возбужденных состояний.

## Обсуждение результатов

Проведенные эксперименты дали возможность проверить результаты расчетов. На рис. 4 показано хорошее совпадение расчетных и экспериментальных зависимостей температур ряда уровней от концентрации электронов в данном сечении сопла.

Анализ более тонких механизмов, влияющих на населенность связанных между собой атомных и ионных уровней, удобно проводить в терминах коэффициента усиления на переходе между ними, который при столкновительном механизме уширения спектральных линий определяется соотношением

$$\kappa(\lambda) = \lambda^2 A_{21} / (4\pi Z)(g_1 N_2 / g_2 - N) \quad (14)$$

[12], где  $A_{21}$  — вероятность радиационного перехода, равная  $1.1 \cdot 10^8 \text{ с}^{-1}$  для  $\lambda = 488 \text{ нм}$  и  $2.9 \cdot 10^8 \text{ с}^{-1}$  для  $\lambda = 352 \text{ нм}$  [5];  $Z$  — частота столкновений иона Ar с другими компонентами;  $g_i$ ,  $N_i$  — статвеса и концентрации атомов в верхнем и нижнем состояниях для каждой длины волны.

В наших экспериментах значения коэффициента усиления и поглощения на длине волны 488 нм ( $4p - 4s$ -переход ArII) были получены в эмиссионно-абсорбционных экспериментах и в экспериментах по резонансному поглощению лазерного излучения. Эксперименты показали, что значения концентраций состояний  $4p$  и  $4s$  в данной точке потока почти равны между собой и зависят неявным образом от давления в потоке, поэтому анализ данных о зависимости коэффициента усиления от параметров потока следует проводить в ряду экспериментов,

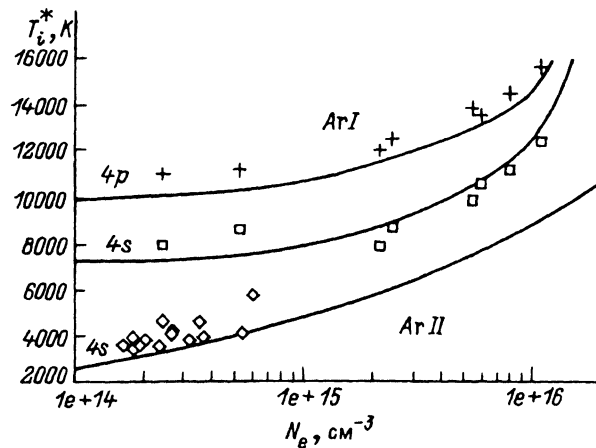


Рис. 4. Зависимость температур  $4p$ -,  $4s$ - (ArI) и  $4p$ -уровней (ArII) на расстоянии  $x = 4.5 h_s$  от среза сопла от концентрации электронов.

+, □ — эмиссионно-абсорбционные измерения; \* — измерения поглощения резонансного лазерного излучения, кривые — расчет.

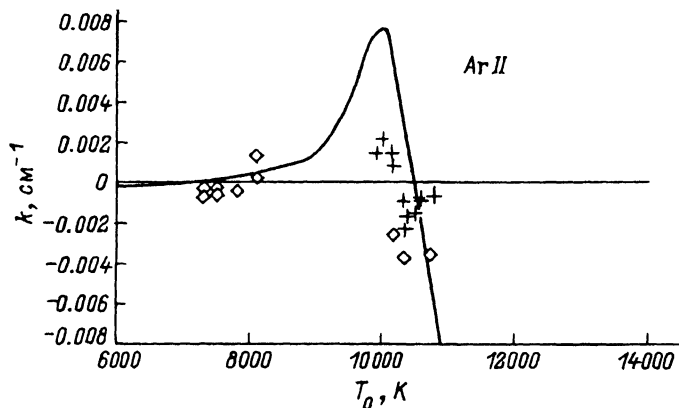


Рис. 5. Экспериментальная и расчетная зависимость коэффициента поглощения и усиления на длине волны 488 нм в ионе аргона от температуры торможения при  $P_0 > 10$  атм.

\* — эмиссионно-абсорбционные измерения, □ — резонансное поглощение лазерного излучения.

проведенных при близких значениях давления торможения. На рис. 5 представлено сравнение зависимости  $\kappa(488)$  от  $T_0$  при  $P_0 = 10-20$  атм с расчетной для  $P_0 = 20$  атм. Можно констатировать удовлетворительное соответствие расчетных и экспериментальных результатов в диапазоне температур  $T_0$  от 7000 до 8000 и от 9600 до 11000 К. Экспериментальные данные, полученные по резонансному поглощению лазерного излучения находятся в полном соответствии с наклоном расчетной зависимости при падении коэффициента усиления и переходе его в область поглощения. Необходимо, однако, отметить, что максимум в коэффициенте усиления, предсказанный расчетами в узком температурном диапазоне 9000–10 000 К, в экспериментах при давлениях  $P_0 > 10$  атм зафиксирован не был, что может быть связано как с недостаточно полным учетом в расчетах процессов тушения возбужденных состояний иона на атомах и ионах (в связи с отсутствием соответствую-

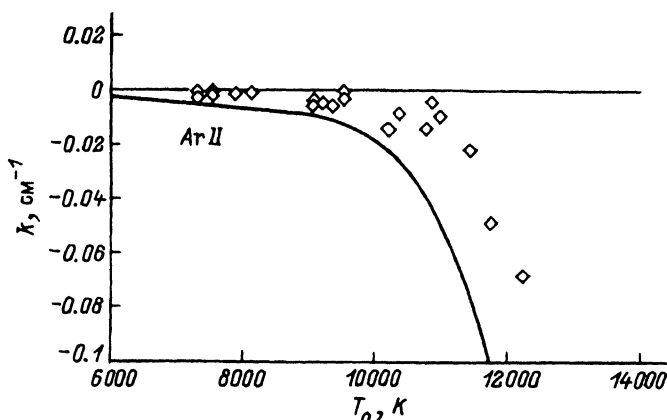


Рис. 6. Экспериментальная зависимость коэффициента усиления и поглощения на длине волны 352 нм, ( $4d-4p$ -переход ArII) от температуры торможения при  $P_0 = 10-20$  атм.

Кривая — расчет при  $P_0 = 20$  атм.

ющих данных), так и с недостатком экспериментальных данных в области  $T_0 \sim 9000$  К при  $P_0 > 10$  атм. Резкий спад  $\chi$  при росте температуры выше 10 000 К связан с тем, что процессом, определяющим различие населенности данных состояний при таких температурах, становится радиационный распад этих уровней.

На рис. 6 представлены экспериментальные значения коэффициента усиления и поглощения на длине волны 352 нм ( $4d-4p$ -переход АгII) вместе с его расчетной зависимостью. В наших экспериментах не удалось получить инверсию на  $4d$ -уровне АгII по сравнению с  $4p$ -уровнем, что связано со слишком высокой скоростью его радиационного охлаждения.

Проведенные расчеты показали, что в потоке расширяющегося аргона даже незначительная рекомбинация (порядка нескольких процентов от начальной степени ионизации) существенно влияет на заселенность электронно-возбужденных уровней рекомбинирующих атомов, приводя в широком диапазоне параметров истечения к возникновению инверсии на ряде переходов атома Аг.

Таким образом, проведенные расчеты и эксперименты показывают 1) принципиальную зависимость характера распределения по электронно-возбужденным уровням атома аргона от процесса рекомбинации, 2) индифферентность ионных уровней к рекомбинационным процессам в струе и их преимущественную зависимость от электронной температуры и радиационных времен жизни.

### Список литературы

- [1] Баженова Т.В., Емельянов А.В., Еремин А.В., Шумова В.В. // ЖТФ. 1994. Т. 64. Вып. 3. С. 26–33.
- [2] Дулов В.Г., Лукьянов Г.А. Газодинамика процессов истечения. М.: Наука, 1984. 234 с.
- [3] Райзэр Ю.П. Физика газового разряда. М.: Наука, 1987. 592 с.
- [4] Бергман И.Л., Вайнштейн Л.А. // Изв. АН СССР. Сер физич. 1963. Т. 27. № 8. С. 1018–1021.
- [5] Гордиец Б.Ф., Дымова И.А., Шелепин Л.А. // ЖПС. 1971. Т. 15. № 2. С. 205–213.
- [6] Сметов Г.Д., Фотиев В.А. // Изв. АН СССР. МЖГ. 1978. № 3. С. 117–122.
- [7] Китаева В.Ф., Одинцов А.И., Соболев Н.Н. // УФН. 1969. Т. 99. № 3. С. 361.
- [8] Емельянов А.В. // III Всесоюз. конф. молодых исследователей “Актуальные вопросы теплофизики и физической гидрогазодинамики”, Новосибирск, 1989. С. 104–105.
- [9] Диагностика плазмы / Под ред. Р. Хаддлстоуна, С. Леонарда. М.: Мир, 1967. 516 с.
- [10] Касабов Г.А., Елисеев В.В. Спектроскопические таблицы низкотемпературной плазмы. М.: Атомиздат, 1973. 160 с.
- [11] Грим Г. Уширение спектральных линий в плазме. М.: Мир, 1978. 492 с.
- [12] Андерсон Дж. Газодинамические лазеры. Введение. М.: Мир. 1979. 200 с.